

## الباب الثالث عشر

### الموصليّة الفائقة SUPER CONDUCTIVITY

اكتشاف الموصليّة الفائقة :

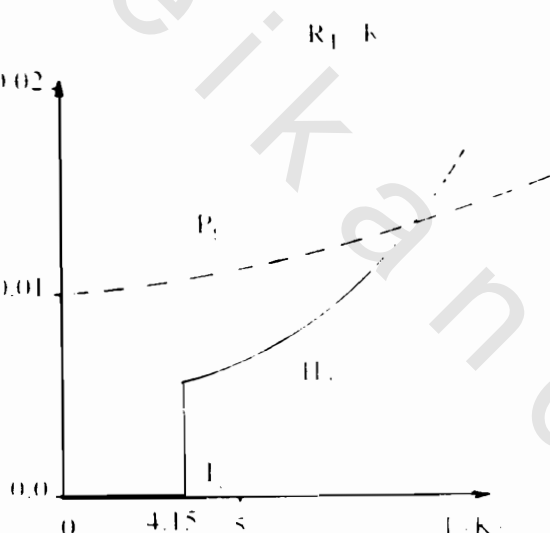
اكتشف اوينز Onnes عام ١٩١١ أن المقاومة الكهربية للزئبق المتجمد تنخفض إلى

الصفر تقربياً عند درجات حرارة أقل من درجة حرجة  $T_c = 4.15 \text{ K}$  ،

ما يوحى بتغيير حالة المادة تغيراً جذرياً وتحتفل في تصرفها عن سلوك المادة العادي التوصيل كالبلاتين مثلاً

، كما مبين في شكل (١ - ١٣) .

وبعد اكتشاف ظاهرة التوصيل الفائق في الزئبق وجد أن مواد أخرى كثيرة تتمتع بنفس الخاصية ، كما وجد أن بعض السبائك والمركبات السيراميكية تظهر موصليّة فائقة عند درجات حرارة أعلى بكثير من تلك التي تظهر عندها في الفلزات النقيّة .

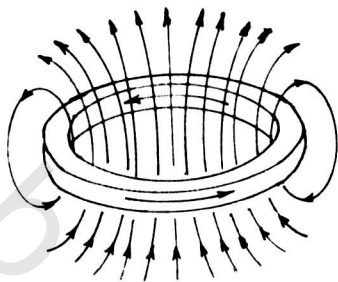


شكل (١ - ١٣)

ليس للموصليّة الفائقة أية مقاومة كهربائية على الإطلاق لذلك إذا أدخلنا تياراً كهربائياً في دائرة تتكون من سلك فائق التوصيل فإن التيار الكهربائي يستمر في السريان طالما استمرت للسلك موصليّته الفائقة ، ويسمى التيار حينئذ بالتيار المداوم persistent current

(١٢ - ٢) ، وقد أمكن في أحد المعامل استمرار سريان تيار مداوم بدون انقطاع لمدة سنتين

ونصف ، دون أي مصدر كهربائي ولم يقف  
التيار إلا بعد الامتناع عن التبريد للموصل  
الفائق ما حوله لمصل معتاد له مقاومة  
للتيار تسببت في إيقافه .



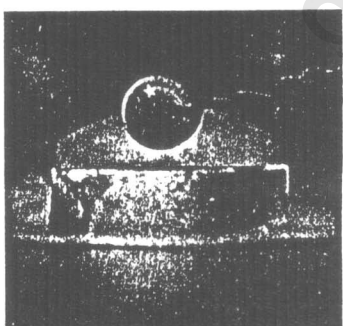
شكل (١٢ - ٢)

## خواص الموصلات الفائقة

### ١ - ظاهرة الرفع Levitation effect

تحدث التيارات المداومة في دوائر الموصلات الفائقة مجالات مغناطيسية ، ينشأ عنها ظاهرة الرفع المثير التي تظهر بعض الأجسام وكأنها عائمة في الهواء فوق الموصل الفائق . فإذا أسلقينا مثلاً مغناطيسياً صغيراً فوق موصل فائق ينشأ مجال مغناطيسي تأثيرى يقاوم حركة السقوط ، وذلك لتكون تيارات مداومة تأثيرية

على سطح الموصل الفائق ، وتزداد شدة هذه التيارات باقتراب المغناطيس من الموصل وفقاً لقانون لنز Lenz's يكون التناور قوياً مع المغناطيس وينتج عن ذلك رفعه في الهواء وكأنه عائماً غير مرتكز على شيء .



شكل (٣ - ١٢).

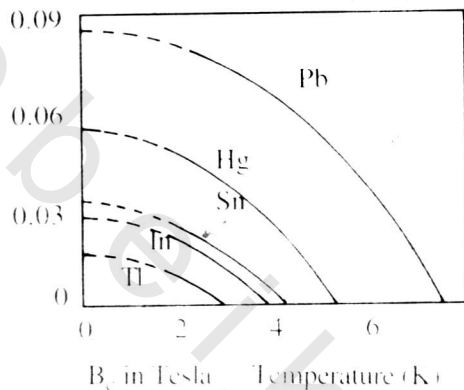
وستفيد حالياً التكنولوجيا الحديثة من ظاهرة الرفع

في تصميم قطار يتحرك مرفوعاً فوق القضبان مما يجعل حركته أسهل وأسرع ، ولذلك يطلق عليه اسم القطار الرصاصي أو القطار بدون احتكاك . Frictionless train .

### ٢ - المجال المغناطيسي الحرج .

ت تكون مجالات مغناطيسية قوية عند مرور التيارات المداومة في ملفات من موصلات فائقة . من الناحية النظرية يمكن زيادة شدة التيار المداوم ، وبالتالي زيادة شدة المجال المغناطيسي المصاحب بدرجة لانهائية . ولكن وجد عملياً أنه إذا زاد المجال المغناطيسي عن حد معين

يسمى بال مجال الحرج  $H_c$  . تختفى تماما ظاهرة التوصيل الفائق وتحول المادة إلى مادة عادية التوصيل . ويعرف المجال الحرج بأنه أقل مجال مغناطيسي يفقد عنده الموصل الفائق موصليته الفائقة . ويطلق على الموصلات الفائقة التي لها مجال حرج واحد بانها من النوع



شكل (١٣ - ٤)

حيث  $H_c(T)$  هو المجال الحرج عند درجة  $T$  ،  $H_c(0)$  عند الصفر المطلق.

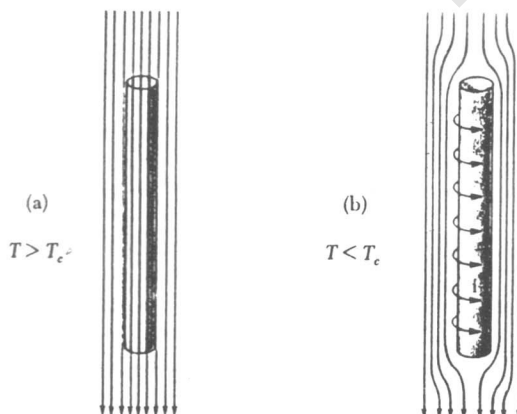
Type I superconductor الأول

وتختلف قيمة المجال الحرج باختلاف الموصل ، كما أنها تقل كلما ارتفعت درجة الحرارة كما مبين بشكل ( ١٣ - ٤ ) وقد وجد أن شدة المجال الحرج المزيل للموصليه الفائقة تتغير مع درجة الحرارة المطلقة وفقاً للمعادلة التقريرية :

$$H_c(T) = H_c(0) \left[ 1 - (T/T_C)^2 \right]$$

### ٣ - أثر ميزنر

عند وضع اسطوانة من موصل فائق في مجال مغناطيسي ينعدم بداخليها المجال الكهربائي نتيجة لقاومته الصفرية . وهذا يعني أن معدل تغير المجال المغناطيسي يتلاشى داخل الموصل الفائق . أى أن خطوط القوى المغناطيسية يه تطرد خارج الأسطوانة ولا تستطيع اختراقها كما مبين في شكل ( ١٣ - ٥ )



شكل ( ١٣ - ٥ )

عند ملامسة المجال المغناطيسي لاسطوانة الموصل الفائق تكون تيارات تأثيرية على السطح تمنع نفاذ خطوط القوى المغناطيسية داخلها ، وهذا هو تصرف الموصل التام الذى لا يتكون بداخله أية مجالات مغناطيسية . وتؤدى التيارات السطحية على الموصل الفائق عملية التوصيل الكهربائى .

تسمى ظاهرة طرد الموصل الفائق لجميع خطوط القوى المغناطيسية لخارجه بأثر ميزنر Meissner effect . ويلاحظ أن تصرف الموصل الفائق فى المجال المغناطيسي يشبه تماماً تصرف المادة الديامغناطيسية من حيث تناقضها مع المجال ، إذ يعتمد الحث المغناطيسي  $B$  فى أي مادة على المجال المغناطيسي المؤثر  $H$  والعزم المغناطيسي  $M$  وفقاً للمعادلة :

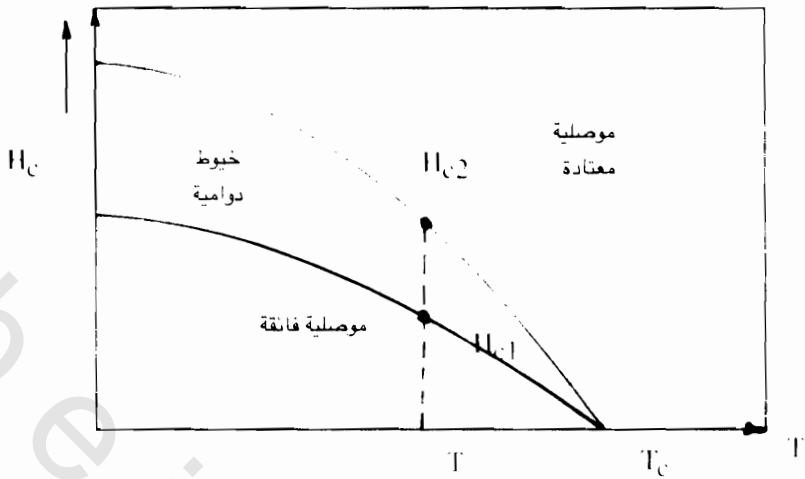
$$B = \mu_0 H + M$$

وبتطبيق أثر ميزنر للموصل الفائق يكون  $B = 0$  وبالتالي تكون  $H = -M$  أي أن القابلية المغناطيسية سالبة ، ولذلك فالموصل الفائق مادة ديامغناطيسية تامة .

تكلمة الفيض المغناطيسي

### النوع الثاني من الموصلات الفائقة Type II Superconductors

يتميز الموصل الفائق من النوع الأول مجالاً مغناطيسياً حرجاً واحداً ، يتحول بعده الموصل الفائق إلى موصل معتاد . أما الموصلات الفائقة من النوع الثاني فلها مجالان مغناطيسيان حرجان  $H_{c1}$  &  $H_{c2}$  عند درجة حرارة معينة (شكل ١٢ - ٦) . عند زيادة شدة المجال المغناطيسي عن  $H_{c1}$  تبدأ خيوط بوامية vortex lines في إختراق الموصل الفائق وتنقسم المادة إلى مناطق ذات توصيل فائق وأخرى موصليتها معتادة . وعند زيادة شدة المجال يزداد حجم المناطق ذات الموصلية المعتادة على حساب مناطق الموصلية الفائقة حتى إذا ما وصلت شدة المجال المغناطيسي إلى القيمة الحرجية الثانية  $H_{c2}$  تكون جميع أجزاء الموصل الفائق قد تحولت إلى التوصيل المعتاد . لذلك يتميز النوع الثاني من الموصلات الفائقة بوجود مجالين مغناطيسيين حرجين لكل درجة حرارة .



شكل (٦) المجالات الحرجة لموصل فائق من النوع الثاني عند الدرجات المختلفة

شكل (٦ - ٦)

المجالات الحرجة لموصل فائق من النوع الثاني عند الدرجات المختلفة

تعمل الخيوط الدوامية على إمرار بعض الفيسب المغناطيسي خلال الموصل الفائق .  
ويذهبى أن تكون مادة الموصل الداخلة في هذه الخيوط ذات موصلية معتادة لتسعى بسرعه خطوط القوى المغناطيسية . ولا كانت هذه الخيوط تشكل حزما من خطوط القوى المغناطيسية  
اللامسسه للموصل الفائق لذلك تتكون تيارات تأثيرية على سطوحها كاللواصمات تحمى باقى  
اجزاء الموصل التي لا تزال على حالتها من الموصلية الفائقة ، تحميها من اختراق المجال  
المغناطيسي لها . ( انظر شكل ٦ - ٧ ) .

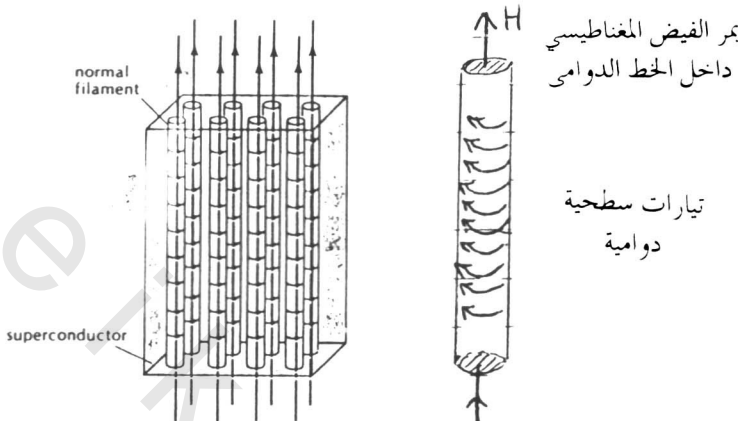
وقد وجد أن كل خيط دوامي يحتوى على كمة واحدة من الفيسب المغناطيسي تساوى  
ثابت بلانك مقسوما على ضعف شحنة الإلكترون

$$\phi_0 = h / 2 e$$

$$= 2.07 \times 10^{-7} \text{ T} \cdot \text{m}^2$$

كما وجد بالتجربة أن زيادة شدة المجال المغناطيسي لا يزيد من كثافة الفيسب المغناطيسي  
في كل خيط دوامي ، ولكن يزداد عدد الخيوط التي تخترق الموصل الفائق وتصير كالحزمة

الكثيفة . وفي النهاية عندما تصل شدة المجال إلى قيمته الحرجة الثانية  $H_{c2}$  تكون المادة قد تحولت إلى مادة عاديّة التوصيل تخترق جميع أجزائها خطوط القوى المغناطيسية وتخفي الموصلية الفائقة من المادة .



شكل ( ١٣ - ٧ )

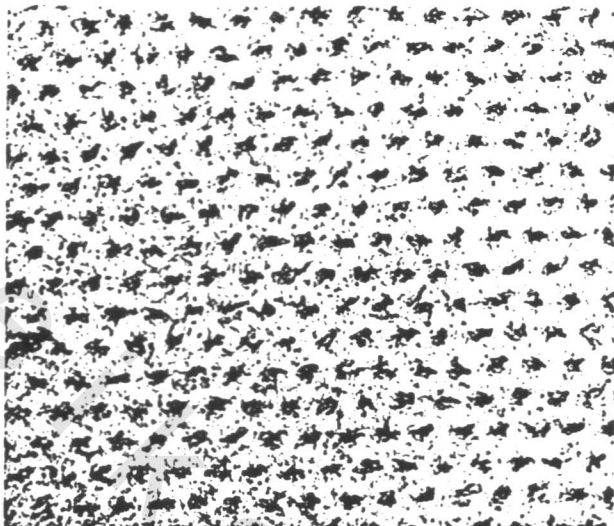
خط دوامي يمر به كمة

وتجرى التجربة البسيطة التالية لإثبات أن كل خط دوامي لا يمر فيه سوى كمة واحد من الفيصل المغناطيسي  $(\Phi_0 = 2.07 \times 10^{-7} \text{ weber})$  وهي تجربة شبّيهة بتجربة بيتير لإظهار الحدود المغناطيسية .

يوضع محلول غروي به مسحوق من مادة مغناطيسية كالمجنتيت فوق سطحأملس من موصل فائق من النوع الثاني ، وبنؤثر عليه بمجال مغناطيسيي تقع شدته بين  $H_{c1}$  &  $H_{c2}$  أى في المنطقة التي تحدث فيها الخطوط الدوامية . تنجذب ذرات المسحوق المغناطيسي لنهايات الخطوط الدوامية ، حيث يمر المجال المغناطيسي ، فيظهر شكل منتظم من الأكواام للمسحوق الأسود اللون ، وإذا ازدادت شدة المجال الخارجي المؤثر تزداد الكثافة العددية للأكواام كما مبين بشكل ( ١٣ - ٨ ) . ويمكن إيجاد عدد الخطوط الدوامية من عدد هذه النهايات وأيضاً بقياس شدة المجال المغناطيسي المؤثر يمكن إيجاد كثافة الفيصل المغناطيسي في كل خط دوامي ، تساوى  $\Phi_0 / 2 \pi h$  ، ولا تندمج أبداً الخطوط بزيادة المجال ولكن

تكون حرما كثيفة ، حتى تتحول المادة إلى موصل معتاد إذا ما زادت شدة المجال على

القيمة الحرجة الثانية  $H_c$



شكل ( ٨ - ١٣ )

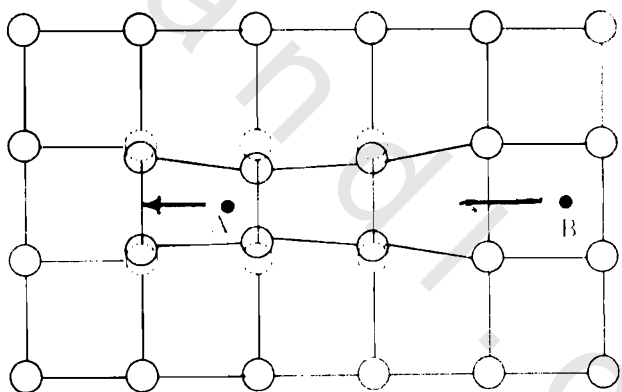
### ميكانيكية التوصيل في الموصلات الفائقة : The BCS Theory :

يحدث التوصيل الكهربائي في الموصلات الإلكترونية بانتقال إلكترونات التوصيل تحت تأثير المجال الكهربائي فيمر التيار . وتبين المقاومة الكهربية مقدار استطارة الإلكترونات بالفعل البيني مع فونونات الشبكة وكذلك بتصادمها مع بعضها البعض ومع الشوائب وعيوب الشبكة وقد وجد أنه حتى عند درجة الصفر المطلق ، حيث تسكن حركة الإلكترونات والфонونات تظهر بعض المقاومة المتبقية في جميع الموصلات المعتادة .

إذا كيف نفسر تلاشى المقاومة تماما في الموصل الفائق عند درجات الحرارة بين الصفر المطلق والدرجة الحرجة ؟ لقد وضع باردين وكوبر وشيريف نظرية تعرف باسمهم BCS theory لتفسير ميكانيكية التوصيل في الموصل الفائق على أساس الفعل البيني بين الإلكترونات الحرة وفونونات الشبكة وأمكان تكون أزواجا من الإلكترونات توجد بين إلكترونى

كل زوج قوة ترابط بخلاف ما تملية النظريات الكلاسيكية من وجود تناقض كولومي بين الشحنات المتشابهة وسميت هذه الأزواج الإلكترونية بـ *أزواج كوبر* Cooper pairs ، وهى التى تشكل حاملات الشحنة عند التوصيل الفائق ، وينشأ عن حركتها التيار الداوم وظاهرة الموصولة الفائقة .

ولكي نفهم كيف يحدث تجاذب بين الكترونى كوبر نبدأ بالإلكترونات الحرة داخل الموصل ، هذه الإلكترونات تؤثر على الأيونات الموجبة للشبكة محدثة بها استقطابا فى شحناتها الموجبة ، فيزداد تركيز الشحنات الموجبة مكان مرور الإلكترون A مثلًا فى شكل ( ٩ - ١٣ ) فتعمل هذه الزيادة على جذب الإلكترون آخر B يكون فى الجوار حينئذ ، وبذلك يتبع الإلكترون A الإلكترون B فيظهر كما لو كانت هناك قوة تجاذب بينهما ، والحقيقة أن ترابط الإلكترونين يكون بواسطة الفعل البينى للإلكترون مع فونونات الشبكة ، ويوضح شكل ( ٩ - ١٢ ) كيفية تكون أزواج كوبر .



شكل ( ٩ - ١٢ )

ويجب ملاحظة إنطباط قاعدة باولى Pauli exclusion principle التي تنص على عدم جواز أن يكون لـ *إلكترون* نفس الإعداد الكميمى ، وعلى ذلك يجب أن يختلف اللف لـ *إلكترون* كوبر ، ولما كانت كميتا حركتهما متساويمتين مقدارا ومتضادتين إتجاهها ؛ لذلك فإن

كمية الحركة الكلية لزوج كوير تساوى الصفر . كما أن لفه أيضا مساوا للصفر أى أنه يعمل عمل البوزنات وليس كما فى الإلكترونات ذات اللف  $1/2 \pm$  والتى تعمل كفرميونات ، ولذلك يمكن تشبيهها فى الموصى الفائق بعملية تكثف لجميع أزواج كوير فى الحالة الأرضية ground state ويمثلهم دالة موجية واحدة تماثلها كروي كما أنها أحاديث الطور ، وتشمل كل أجزاء الموصى الفائق ، وبالنسبة للميكانيكا الموجية يمكن اعتبار الكترونى زوج كوير على أنهما موجتان متساويتان فى السعة ويختلفان فى الطور بمقدار  $\pi$  ويكونان لذلك موجة موقوفة .

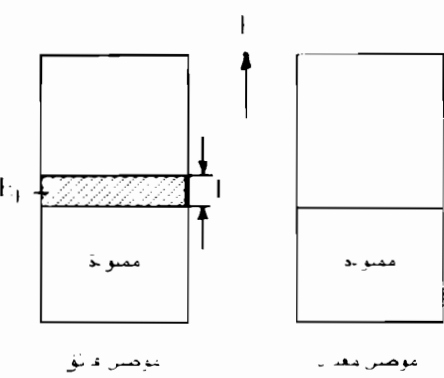
لا تحدث استطارة لأزواج كوير كما هو الحال بالنسبة للإلكترونات الحرية وذلك لأنه إذا أثرت الشبكة على الإلكترون الأول فى الزوج وغيرت من كمية حركته بقدر معين فإن الشبكة ذاتها تغير من كمية حركة الإلكترون الثاني بنفس المقدار ولكن فى اتجاه معاكس تماما لاتجاه التغير الأول . وهذا يعنى أن التغير الكلى لكمية الحركة للزوج تساوى صفراء ، وبذلك لا يكون هناك أى تأثير للشبكة على زوج كوير الذى يكن له حرية الحركة تماما بداخلها فلا تكون هناك استطارة أو أى مقاومة لحركة ناقلات الشحنة ، وعلى ذلك تصير مقاومة الموصى الفائق صفرية .

#### طاقة الثغرة للموصى الفائق : Energy gap

يعتمد استقرار الموصى الفائق على قوة الرابطة بين الكترونى زوج كوير . وتفسر النظريات حالة الموصى الفائق بوجود طاقة ثغرة بين الحالة الأرضية ground state والحالة المثارية للنظام كما هو مبين بالشكل ( ١٣ - ١٠ ) .

وتعرف طاقة الثغرة بأنها الطاقة اللازمة لكسر الرابط بين الكترونى كوير ، وقد أثبتت

شكل ( ١٣ - ١٠ )

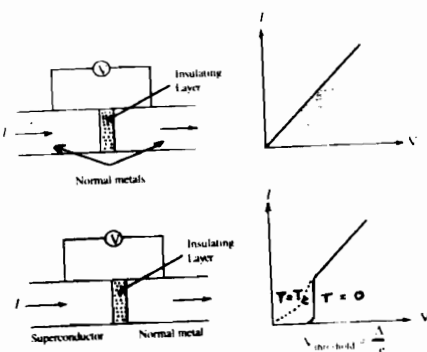


نظريّة باردين كوبير شريفر BCS لميكانيكيّة التوصيل في الموصّلات الفائقة ، إن طاقة الثغرة عند  $T = 0$  K تتناسب مع درجة الحرارة الحرجة  $T_c$  حيث  $E_G = 3.53 T_c$  وطاقة الثغرة في الموصّل الفائق صغيّرة في حدود  $k T_c$  ( 0.001 eV ) عند الصفر المطلق ولذلك فهي لا تقارن بطاقة الثغرة في شبه الموصّل ، ولذلك عند التأثير على موصّل فائق بمجال مغناطيسي تزداد طاقة أحد الكتروني زوج كوبير ، بينما تنقص طاقة الثاني . فإذا كانت شدة المجال كبيرة بما فيه الكفاية ينفصل الإلكترونون وتنتهي حالة الموصليّة الفائق .

ولقياس طاقة الثغرة عملياً نجري التجربة الآتية :

إذا أحضرنا فلزين توصّل بهما معتاد وجعلنا منها وصلة كهربية بينهما طبقة رقيقة من مادة عازلة . تتبع العلاقة بين التيار والجهد على الوصلة قانون أوم كما في الشكل ( ١١-١٢ ) بينما إذا كان أحد طرفي الوصلة من مادة موصلية فائقة فإننا بزيادة فرق الجهد على طرفى الوصلة لا يمرّ أي تيار حتى نصل إلى جهد معين  $V_e$  threshold حيث  $V_E = E_G / 2 e$

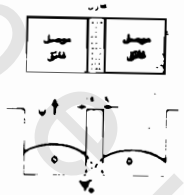
وقد استخدمنا هنا نصف طاقة الثغرة  $E_G / 2$  حيث إننا بقصد الكترون واحد يخترق الطبقة العازلة بواسطة نظرية الأنفاق ، أي أنه عندما تكون الطاقة  $V$  مساوية نصف طاقة ترابط الكتروني كوبير على الأقل ينفصل الإلكترونون ويتحول التوصيل إلى توصيل معتاد .



شكل ( ١١ - ١٢ )

## أثر جوزيفسن : D C & A C Josephson Effect

أولاً : اكتشف جوزيفسن أنه عندما يتلامس موصلان فائقان بينهما طبقة رقيقة من مادة عازلة ، كاكسيد مثلاً سميكة ٢-١ نانومتر ، يتولد تيار فائق  $I_0$  دون التأثير على الوصلة بأى فلطية خارجية وتزداد شدة التيار بزيادة سطح التلامس بينهما ، ولكنها تقل بزيادة سمك الطبقة العازلة ، وتفسر هذه الظاهرة بفيزيائيا الكم عن طريق اختراق أزواج كوير



شكل (١٢ - ١٢)

للطبقة العازلة بظاهره الأنفاق المعروفة Tunnel effect . ويبين شكل ( ١٢ - ١٢ ) وصلة جوزيفسن مع اختراق حاجز الجهد بظاهره الأنفاق ، وتكون الدالة الموجية جيبيه داخل بئر الجهد ودالة أسيه داخل حاجز الجهد أي الطبقة العازلة .

إذا اعتربنا أن الدالة الموجية لزوج كوير داخل حاجز الجهد هي :

$$\Psi = \Psi_0 \exp(i\phi)$$

حيث  $\phi$  هو الطور ، وهو أحادى لجميع أزواج كوير ، وأن طورا الموصلين الفائقين على جانبي الوصلة  $(\phi_2, \phi_1)$  يكون التيار  $I_0$  المار فى الوصلة هو :

$$I_s = I_m \sin(\phi_2 - \phi_1) \\ = I_m \sin \delta$$

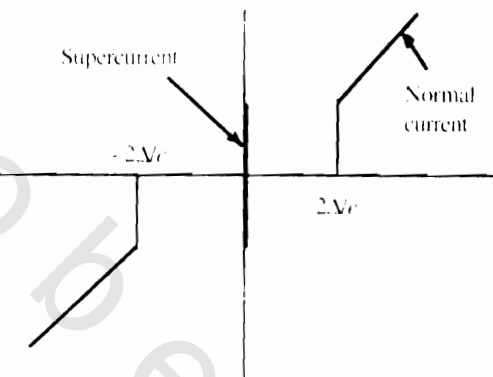
حيث  $I_m$  هو أكبر تيار حدث عندما لا تؤثر على الوصلة بأى فلطية خارجية ثانياً : عند التأثير على الوصلة بفلطية ثابتة  $V$  ( d.c. voltage ) يتكون في الحال تيار متعدد  $I$  يعطى بالمعادلة

$$I = I_m \sin(\delta - 2\pi ft)$$

حيث  $\delta$  هو الطور عند الزمن  $t = 0$  ،  $f$  هو تردد جوزيفسن ويعطى بالمعادلة

$$f = \frac{2eV}{h}$$

حيث  $h$  ثابت بلاتك ،  $e$  شحنة الإلكترون . ويبين شكل ( ١٢ - ١٣ ) منحنى تغير التيار



مع الجهد على وصلة جوزيفسن المكونة من مادتين فائقتي التوصيل بنها طبقة رقيقة عازلة.

وقد وجد أنه بالتأثير على الوصلة بفقطية واحد ميكروفولط ينشأ تيار تردد  $f = 483.6 \text{ MHz}$  ونظراً للدقة الكبيرة الممكنة في قياس كل من التردد وفرق الجهد لذلك

يمكن تعين قيمة  $(e/h)$  بدقة لم يسبق أن حصلنا عليها .  
شكل (١٣ - ١٢) .  
وستستخدم وصلة جوزيفسن في تطبيق هام آخر .

إذا شععنا الوصلة بإشعاع كهرمغناطيسي تردد  $f$  فإننا نحصل على منحنى بين التيار والجهد يتميز بقفزات كمية كلما كان تردد جوزيفسن  $f$  مساوياً مضاعفات لتردد الساقط  $f$  أي كلما كان :  

$$V = h f / 2 e = n h f^1 / 2 e$$
  
 وتتصرف الوصلة كتصريف نرة مثارة لها مستويات كمية فكلما عبر زوج كوير الوصلة ينبع أو يمتص فوتون تردد  $f = 2 eV / h$

### السكويد : The SQUID

عندما تتعرض وصلة جوزيفسن لجال مغناطيسي يتوقف شدة التيار الحرج على عدد كمات الفيصل المغناطيسي المؤثر عليها فالتيار يتغير بوريا مع الفيصل ، وستخدم هذه الظاهرة في القياس المتاهي في الدقة للمجالات المغناطيسية الصغيرة جداً كتلك المصاحبة للتغيرات المخية في الإنسان في حدود  $T = 10^{-14} \text{ K}$ .

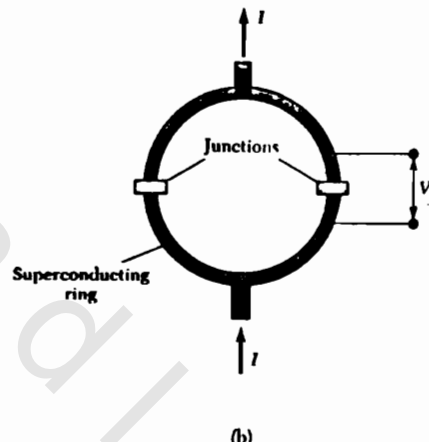
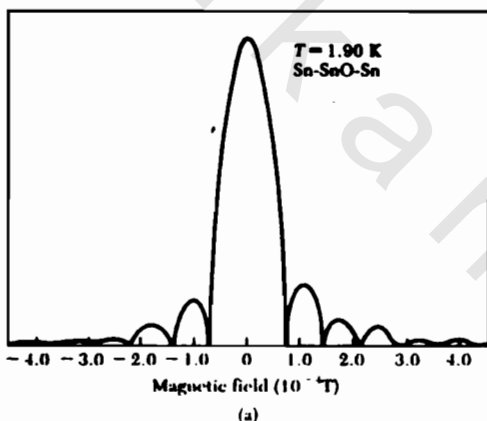
والסקويد تركيب من وصلتى جوزيفسن يكونان حلقة كما في شكل (١٤ - ١٢)

والاسم سكويدي SQUID يأتى من الاختصار الانجليزى للاسم :  
Superconducting Quantum Interference Device

شدة التيار في حلقة السكوديد تساوى مجموع تيارى وصلتى جوزيفسن ، عندما تؤثر على السكوديد بمجال مغناطيسى فإنه يحدث تيارا مداوما فى الحلقة يكفى لطرد الفيصل المغناطيسى من الحلقة ( ظاهرة ميزنر ) طالما استمرت الحلقة فى موصليتها الفائقة ، أما إذا ازدادت شدة التيار عن التيار الحرج تحولت الحلقة لحظيا إلى مادة عادية التوصيل تسمع بالفيض المغناطيسى لاختراقها ، ويمكن لدائرة الكترونية تسجيل التغيرات فى شدة التيار المصاحبة للتغير فى شدة المجال .

ويكثر استخدامات السكوديد حاليا لدراسة المجالات المغناطيسية الحيوية كتلك المصاحبة لتغيرات القلب والمخ ، للكشف عن مصادر الصرع والسكنات القلبية عند الإنسان .

Josephson current



شكل ( ١٤ - ١٢ )

### وحدات مرجعية كمية للجهد والمقاومة :

Reference Quantum Standards of voltage and Resistance

أولا : أثر جوزيفسن والقياسية المرجعية للجهد :

رأينا مما سبق أن شريحتين من مادة ذات موصليية فائقة كالنيوبيوم يفصلهما طبقة رقيقة عازلة ذات سمك حوالي  $n \text{ m}$  تكون وصلة جوزيفسن التي تتسبب ظاهرة الأنفاق

tunnel effect من أن تخترق الأمواج الإلكترونية العازل بين الشريحتين وبذلك يمر جزء كبير من تيار التوصيل الفائق .

عند تشعييع هذه الوصلة بامواج كهرومغناطيسية ترددتها  $f$  وبقياس شدة التيار المار  $I$  وفرق الجهد على الوصلة و  $U_J$  يكون منحنى العلاقة بين التيار ، وجهد جوزيفسن كما مبين بشكل ( ١٣ - ١٥ ) حيث يظهر فيه سليميات على محور التيار تظهر عند قيم متعددة لجهد جوزيفسن لا تتغير مواقعها ، ويرتبط الجهد  $U_J$  الذي يحدث عنده السلمة النوعية  $n$  th ( step ) بتردد الأشعة الساقطة بالعلاقة :

$$U_J(n) = n f / K_J$$

حيث  $K_J$  هو ثابت جوزيفسن ،  $n$

عدد صحيح

ومن المعادلة السابقة ، وبوضع

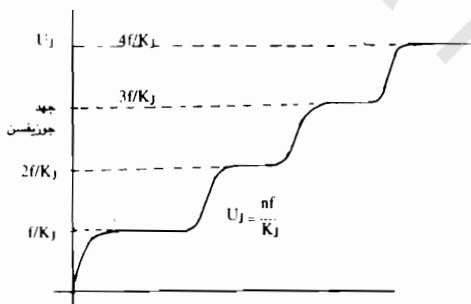
$n = 1$  يكون تعريف ثابت جوزيفسن هو النسبة بين التردد إلى جهد جوزيفسن عند السلمة الأولى . وقد وجد بالتجربة أن ثابت جوزيفسن  $K_J$  لا يتوقف على المتغيرات التجريبية مثل نوع الموصل الفائق أو درجة الحرارة أو تردد الإشعاع الساقط أو القدرة ، وعلى ذلك فقد اعتبر ثابت جوزيفسن كمية قياسية عالمية International quantity

شكل ( ١٣ - ١٥ )

كما أثبتت التجربة أن القيمة المقاسة لثابت جوزيفسن تتطابق مع القيمة المحسوبة

نظرياً والتي تساوى ضعف شحنة الإلكترون  $e$  إلى ثابت بلانك  $h$  أي إن

$$K_J = 2 e / h$$



وبالتعويض عن قيم  $e$  &  $h$  نجد أن قيمة هذا الثابت هي :

$$K_J = 483954 \text{ G H}_Z / \text{V}$$

وعلى ذلك فقيمة الثابت  $R_k$  يمكن استخدامها في تعريف الوحدة القياسية للجهد أى

. ( volt ) للفلط .

ثانياً : أثر هول الكمي والقياسية المرجعية للمقاومة :

يعتبر اكتشاف فون كيلتزنج لأثر هول الكمي طريقة جديدة للتعرف بالمقاومة القياسية

المرجعية كما سبق بالنسبة للجهد في وصلة جوزيفسون ، لقد عرفت مقاومة هول  $\rho_H$  بأنها

النسبة بين جهد هول  $U_H$  إلى شدة التيار  $I$  المار في العينة أى أن

$$\rho_H = U_H / I$$

و عند تثبيت شدة التيار  $I$  وتغيير شدة المجال المغناطيسي وجدت مصطلبات في المنحنى

بين جهد هول  $U_H$  وشدة المجال المغناطيسي  $H$  حيث يستمر الجهد ثابتاً مع زيادة شدة المجال خلال كل سلمة .

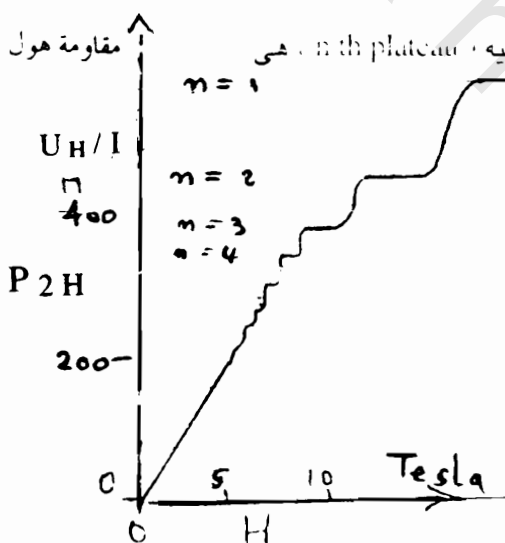
وتكون قيمة مقاومة هول عند المصطلبة التوقيعية  $n$  (with plateau) هي

$$\rho_H(n) = U_H(n) / I$$

$$= R_k / n$$

حيث تأخذ  $n$  القيم ...

ويسمى  $R_k$  ثابت كيلتزنج الذي يعرف بأنه قيمة مقاومة هول عند أول مصطلبة أى عندما تكون  $n = 1$



شكل (١٢ - ١٦)

ويبين شكل (١٢ - ١٦) نتائج تجربة K 1.39 لقياس جهد

هول ، وكانت شدة التيار المار بالعينة

$25.52 \mu \text{A}$  ووجد أن مقاومة هول تظهر المصطلبات المبينة بالشكل عند قيم مكماة

$$n = 1, 2, 3, \dots R_H / n$$

وأن قيمة ثابت كليزنج للسلمة  $n = 1$  هو :

$$R_H = 25813 \text{ ohm}$$

وأن هذه القيمة تتطابق مع النتائج النظرية لأثر هول الكمى ، وهى :

$$R_H = h / e^2$$

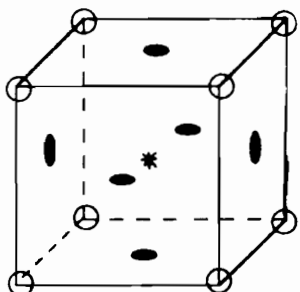
حيث  $h$  ثابت بلانك ،  $e$  الشحنة الإلكترونية .

ومما سبق نرى أن أثر جوزيفسن ، وأثر هول الكمى أوجدا قياسية كمية Quantum standards للجهد والمقاومة على الترتيب ، وعلى ذلك أمكن تحديد قيمة الوحدة لكل من الجهد والمقاومة أى الفولط والأوم على أساس قيم الثابتين الكميين  $R_k$  ،  $K$  وثابت جوزيفسن وثابت كليزنج للفولط والمقاومة .

### الموصىلة الفائقة عند درجات الحرارة المرتفعة

#### High Temperature Superconductivity

حتى عام ١٩٨٦ م ، كانت أعلى درجة حرارة أمكن عندها الحصول على الموصىلة الفائقة في بعض المواد هي  $T_c = 23.2 \text{ K}$  . وكانت المادة هي نيوبيوم جرمانيوم ( $Nb_3 Ge$ ) . وكانت معظم البحث متوجهة إلى دراسة الأكسيد ذات التركيب بيروفسكايت Perovskite الذي يمثله تركيب تيكتنات الباريوم المبين بشكل (١٣ - ١٧) ومن أمثلة تلك المواد تيكتنات السترنشيوم وتنيجستات الصوديوم .



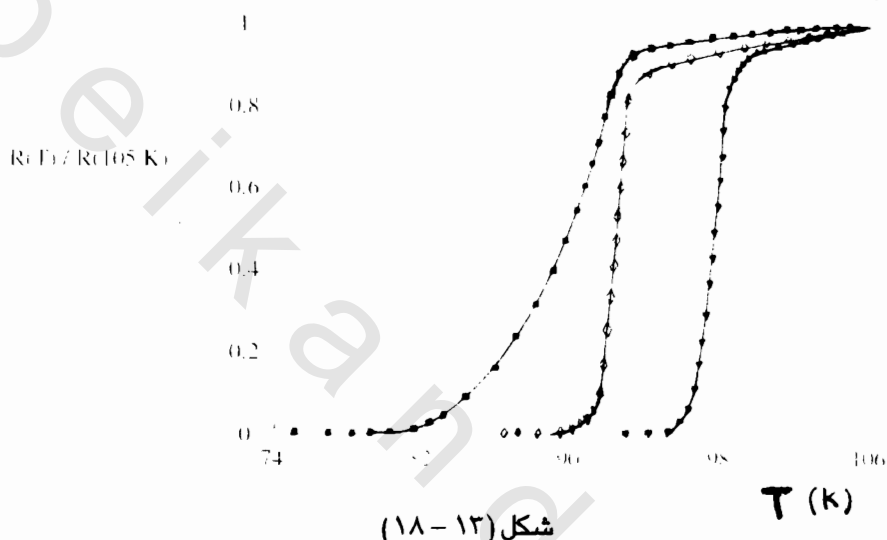
شكل (١٢ - ١٣)

وبنهاية عام ١٩٨٦ م اكتشف بدنورز ومولر Bednorz & Müller مادة سيراميكية (LaBCO) أظهرت موصىلة فائقة ابتداء من الدرجة ٣٥ كلفن وقد أمكن بعد ذلك بالتأثير على المادة بضغوط كبيرة رفع درجتها الحرجة إلى  $T_c = 57 \text{ K}$  . وقد أثبت ذلك أن إنفاص البعد الشبيكي والمسافة بين الذرات يؤدي إلى

رفع الدرجة الحرجة للموصل الفائق ، وقد دفع ذلك العلماء إلى استبدال ذرة الالانتنام ( La ) بذرة أصفر حجما منها وإن كانت تماثلها كيميائيا هي ذرة الايتريوم ( Y ) وعندئذ تكون المركب ( Y B CO ) الذي أظهر نقصا حادا في المقاومة الكهربية عند درجة K 93 انتهت بمقاومة صفرية تماما عند درجة k 80 كما مبين بشكل ( ١٢ - ١٨ ) .

وقد أثبتت القياسات المغناطيسية على هذا المركب ظهور أثر ميزنر عند درجات أقل

من 90 K .



#### البنية التركيبية للموصلات الفائقة عند الدرجات المرتفعة :

أظهرت الدراسة بالأشعة السينية أن الموصل الفائق Y B C O يترکب من طبقات

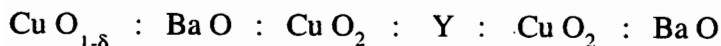
ثلاث لكل منها تركيب بيروفسكيت :

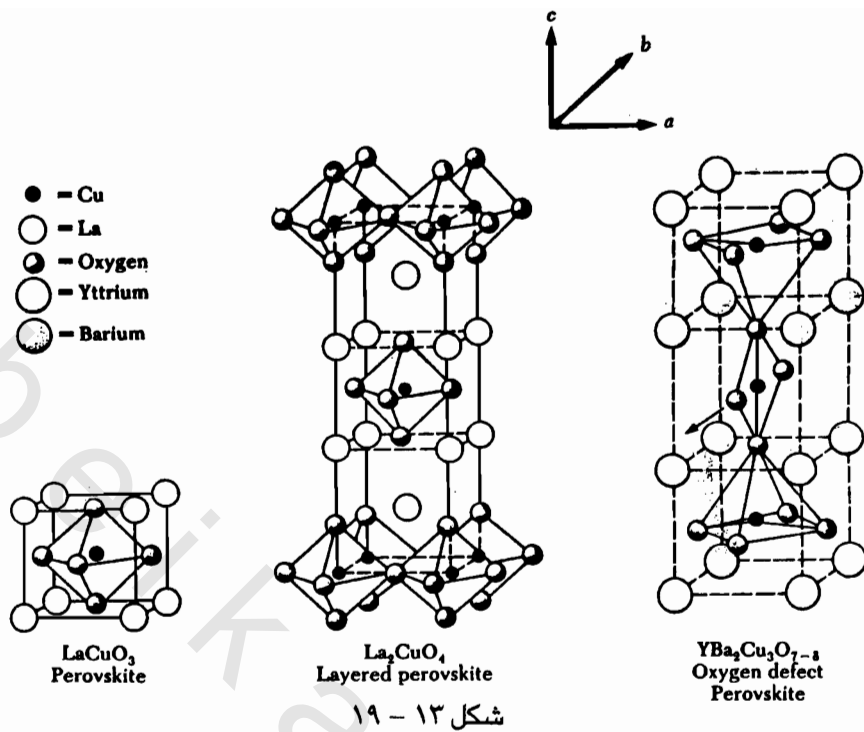
١ - طبقة من أكسيد النحاس

٢ - طبقة من أكسيد الباريوم

٣ - طبقة من ذرات الايتريوم

ويكون ترتيب هذه الطبقات كما مبين بشكل ( ١٢ - ١٩ ) كالتالي :





شكل ١٢ - ١٩

يختلف تركيب البنية للمركب وفقاً للكمية  $\delta$  التي تحدد عدد ذرات الأكسجين :

١ - إذا كانت  $0.5 \leq \delta$  كانت البنية متماثلة من نوع orthorhombic

٢ - وإذا كانت  $\delta \geq 0.5$  يكون للبنية تماثلاً من نوع tetragonal

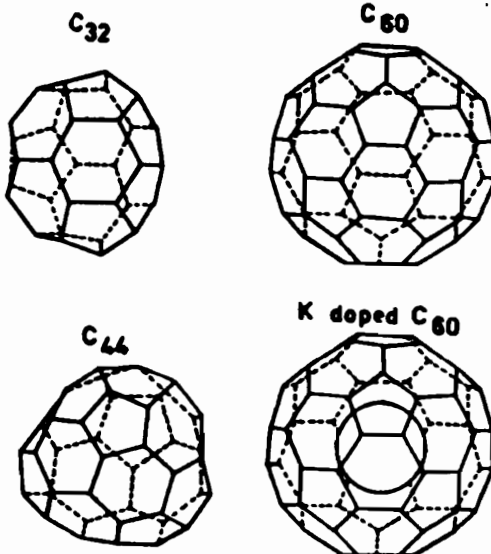
في التركيب الأول ( $0.5 \leq \delta$ ) تكون ذرات النحاس والأوكسجين سلسل خطية في اتجاه  $y$  كما في الشكل وقد ثبت عملياً أن التوصيل الفائق يتم في هذا التركيب من خلال طبقات أوكسيد النحاس  $\text{Cu}_1\text{O}_{1-\delta}$  وفي اتجاه سلسل  $\text{Cu}-\text{O}$  في هذه الطبقات .

أما عن ميكانيكية التوصيل الفائق في مثل هذه المواد فقد أظهرت الحسابات النظرية للبنية النطاقية Band Structure على هذه الأكسيد أنه من الصعب جداً تفسير ميكانيكية التوصيل الفائق على أساس نظرية الفعل البيني للإلكترونات مع فوئونات الشبكة B C S Theory وعلى أساس تكون أزواج كوير .

وهناك نظريات شتى وافكار غير تقليدية لتفسير هذه الميكانيكية منها تأثير المستقطبات الثنائية bipolarons وتبذبذبات اللف الإلكتروني spin fluctuations ورنين resonating valence bonds . ولا يزال البحث جاريا .

### الفولرين موصل فائق جديد : Fullerine - C<sub>60</sub>

يعتبر اكتشاف الفولرين C<sub>60</sub> من أهم اكتشافات الكيمياء الفيزيائية لعام ١٩٨٥ م . فقد وجد مجموعة من العلماء أنه بتخمير الجرافيت بشعاع ليزد في وجود غاز الهليوم يتكون جزء عملاق من ذرات الكربون له بنية كروية مغلقة مجوفة من الداخل ، وقد سميالجزء بالفولرين تكريماً لاسم فولر الذي وضع التصميم الهندسي لهذا الجزء ، فلكي يتكون الجزء يجب أن يتتوفر إثنا عشر حلقة خماسية pentagons تتصل ببعضها من الحلقات السادسية hexagons يتحدد بعدها شكل وحجم الجزء . وأكثر هذه الجزيئات ثباتا واستقرارا هو C<sub>60</sub> الذي يتكون هيكله من ١٢ حلقة خماسية تتصل بـ ٢٠ حلقة ساداسية لتكوين هيكل كروي تمام مثل كرة القدم . يوجد عند كل نقطة التقاء لهذه الحلقات ذرة من ذرات الكربون . وشكل ( ١٢ - ٢٠ ) يبين أشكال مختلفة من جزيئات الفولرين التي تتركب من عدد ٢٢ ، ٤٤ ، ٦٠ ، ٤٤ ذرة كربون .

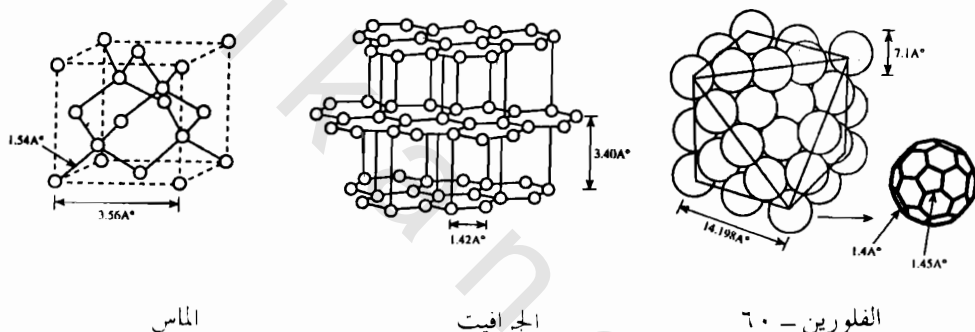


شكل ( ٢٠ - ١٢ )

## قوى الترابط في الفولرين :

من المعترف به حالياً أن الفولرين هو الطور الثالث للكربون بعد الجرافيت والماس ، وبنية الفولرين تربط بين مستويات الجرافيت وتساهميه الماس . فقوى الترابط بين ذرات كربون الفولرين تساهمية بين ثلاثة ذرات فقط ، بينما الإلكترون الرابع يكون حرراً لعمل رابطة  $\pi$  (  $\pi$  orbital ) مع جزيئات فولرين مجاورة في الشبكة التي ثبت أنها تكعيبية متمركزة الوجه  $c^{\circ}$  ، حيث تكون القوى بين جزيئات الفولرين التي تشغل نقاط الشبكة هي قوى فإن درفال .

ويبين شكل ( ٢١ - ١٣ ) مقارنة بين أطوار الكربون المختلفة :



شكل ( ٢١ - ١٣ )

## خواص الفولرين وموصليته الفائقة :

بعد أن اكتشفت طريقة سهلة لتحضير الفولرين عكف العديد من العلماء في شتى أنحاء العالم على دراسة خواصه ، وقد كانت طريقة تحضيره تعتمد على إشعال قوس كهربائي في جو من الهليوم ، وجمع المادة المتجمعة وإذابتها في البنزين أو التولوين . فلا يتبقى دون نوبان إلا الفولرين ، وبذلك يتم فصله عن الشوائب الأخرى .

وبدراسة خواص الفولرين وجد أن معامل انضغاطه الطولي صغير جداً بينما معامل

إنضغاطه الحجمي كبير جدا نظرا لتجوف الجزء . ولذلك فيعتبر الفولرين أفضل من الجرافيت من حيث قدرته التسخيمية - لأجزاء الالات المتحركة خاصة إذا كانت الحركة مع درجة حرارة مرتفعة .

ومن أهم صفات الفولرين قابليته للتفاعل مع الذرات المعطاء للكتروناتها مثل : الهايدرات القلوية ، مثل الليثيوم والصوديوم والبوتاسيوم والروبيديوم والسيزيوم . وتعطى ذرات هذه المواد ألكتروناتها الخارجية ( s - electrons ) للفولرين مما يملأ جزئيا نطاق التوصيل ، وبذلك يتحول الفولرين إلى موصل جيد للكهرباء .

وقد ظهر للبوتاسيوم فولرين  $K_x C_{60}$  خواص موصلية فائقة درجتها الحرجة  $T_c = 18\text{ K}$  ، وبالتجربة أمكن رفع الدرجة الحرجة لتصبح  $T_c = 28\text{ K}$  في حالة  $Rb_x C_{60}$  فولрид الروبيديوم . وباستخدام الاشعة السينية وجد أن الطور الموصل الفائق ينشأ عند اتحاد ثلاثة ذرات من الهايدرات القلوية مع الفولرين ، مثلا :  $K_3 C_{60}$  ، أما إذا اتحد ستة ذرات مع جزء الفولرين  $K_6 C_{60}$  ينتج طور عازل كهربيا ، وكلما إزداد البعد الشبكي في بلورة الفولرين التكعيبي كلما ازدادت الدرجة الحرجة  $T_c$  للموصل الفائق .  
ويتوقع العلماء للفولرين مستقبلا تكنولوجيا عظيما عن جميع الأنواع الأخرى من الموصلات الفائقة .

## مسائل وتمارين على الباب الثالث عشر

١ - سلك من الرصاص نصف قطره  $3 \text{ mm}$  في درجة حرارة  $4.20 \text{ K}$  أوجد :

- المجال المغناطيسي الحرج عند هذه الدرجة .
- أكبر تيار يمكن للسلك أن يمرره عند هذه الدرجة .

٢ - ملف لوبي عدد لفاته  $150$  لفة لكل سم  $^2$  يتكون سلكه من مادة ذات موصليه فائقة

من النوع الأول مجالها الحرج  $T = 32 \text{ H}_c$  عند الصفر المطلق ودرجة حرارتها الحرجية :  $T_c = 18 \text{ K}$

أ - شدة التيار الداوم الذي يحدث مجالاً مغناطيسياً  $T = 5$  داخل الملف .

ب - أكبر تيار يمكن إمراهه في الملف إذا حفظت درجة حرارته عند  $15 \text{ K}$

$$(\mu_0 = 2\pi \times 10^{-7} \text{ N/A}^2)$$

٣ - أثبت بالاستعانة بقاعدة أمبير أن تيارات التوصيل تكون دائمة تيارات سطحية لا

تخترق قلب الموصل .

٤ - أوجد طاقة الثغرة للرصاص فائق التوصيل إذا كانت درجته الحرجة

$T_c = 7.193 \text{ K}$  ثم أوجد أقل طاقة فوتونية يمكن أن تمتلك بالرصاص عند الصفر المطلق؟

٥ - أوجد شدة التيار الداوم الذي يتكون في حلقة من النيوبيوم الموصى الفائق

قطرها  $2 \text{ cm}$  إذا وضعت عموديه على مجال مغناطيسي شدته  $T = 0.02 \text{ T}$  ، ثم أزيل المجال فجأة علماً بأن الحث الذاتي للحلقة  $H = 3.1 \times 10^{-8} \text{ A/m}$  ؟

٦ - أوجد طاقة الثغرة للموصل الفائق عالي الدرجة  $Ba_2 Cu_3 O_{7-\delta}$  إذا كانت

درجة الحرجة  $K = 92$  بفرض صحة نظرية BCS.

٧ - سكوديد نصف قطره 2 mm يمكنه قياس فيض مغناطيسي  $\Phi_0 = 10^{-4}$  ما هو أقل

تغير في مجال مغناطيسي يمكن أن يسجله؟

٨ - تغير الأنتروربيا لوحدة الحجوم من الحالة المعتادة للتوصيل إلى حالة الموصلية

الفائقة وفقاً للمعادلة :

$$\frac{\Delta S}{V} = - \frac{\delta}{\delta T} \left( \frac{B^2}{2 \mu_0} \right)$$

حيث  $\frac{B^2}{2 \mu_0}$  هي الطاقة المغناطيسية لوحدة الحجوم اللازمة لإزالة الموصلية الفائقة.

أوجد مقدار التغير في الأنتروربيا في حالة mol 1 من الرصاص عند درجة K 4 إذا كان

المجال المغناطيسي الحرج والدرجة الحرجة K  $T_C = 7.2$  ;  $B_C(0) = 0.08$  T

٩ - عند درجة حرارة أقل من الدرجة الحرج لموصل فائق تكون طاقة ترابط الكتروني

كبير  $V 0.1$  meV أقل من طاقة الإلكترون عندما لا يكونوا متراقبين ، أي أن هناك ثغرة بين مستوى طاقة زوج كبير والمستوى الإلكتروني في نطاق الكتروني .

رسم مستويات الطاقة في النطاق الإلكتروني لزوج كبير مع توضيح على الشكل مستوى طاقة التهجيج الحراري  $T_k$  عند درجة K 1 . واشرح لماذا يكون زوج كبير مستقرًا عند درجة K 1 .

١٠ - أسطوانة مجوفة من مادة ذات موصلية فائقة القطر الداخلي لها  $25 \mu m$  .

يوجد مجال مغناطيسي في المنطقة المفرغة من الأسطوانة في اتجاه المحور ، أوجد شدة

هذا المجال إذا مر بالمنطقة الموجفة بالأسطوانة كمية واحدة من الفيصل المغناطيسي .

١١ - ملف من مادة موصلة فائقة عدد لغاته 3000 لغة لكل متر يمر به تيار فائق شدته

. 7.5 mm 12 A . للملف قلب مفرغ نصف قطره

أ - أوجد شدة المجال المغناطيسي داخل الملف ؟

ب - أوجد مقدار الفيصل المغناطيسي المار في قلب الملف المفرغ ؟

ج - أوجد عدد الكلمات من الفيصل التي تمر بالقلب المفرغ ؟

د - ماذا يكون التغير في الفيصل المغناطيسي إذا زاد عدد الكلمات للفيصل

بمقدار كمية واحدة ؟

١٢ - سلك من موصل فائق من النوع الثاني نصف قطره R يحمل تياراً موزع

بانتظام على مساحة مقطعة إذا كان التيار الكلى المار بالسلك هو I أثبت أن الطاقة

المغناطيسية لوحدة الطول من السلك داخلة هي  $(\mu_0 / 16\pi) I^2$  ؟